

УДК 621.385.6

ВЗАИМОДЕЙСТВИЕ РЕЛЯТИВИСТСКОГО ЭЛЕКТРОННОГО ПОТОКА С ВОЛНАМИ ИМПЕДАНСНОГО ВОЛНОВОДА

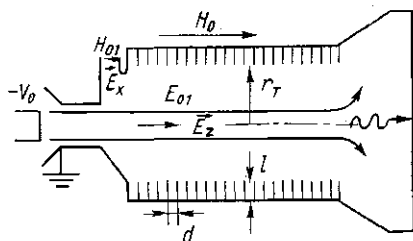
А. М. Афонин, А. Д. Поезд

(кафедра радиофизики СВЧ)

Введение. Использование замедляющих электродинамических структур типа гофрированного или диафрагмированного волновода для генерации СВЧ излучения с помощью сильноточных релятивистских электронных потоков известно по многим работам [1, 2, 3]. К достоинствам таких систем можно отнести простоту конструкции, легкость получения генерации и ее стабильный модовый состав. Пространственное развитие поперечного сечения замедляющей системы и переход к генераторам поверхностной волны [3] позволили увеличить длительность импульса и его мощность. Работа генераторов основывалась на взаимодействии со встречной (ЛОВ) или полутной (ЛБВ) волнами. Представляет значительный интерес создание усилителя, использующего сходную с генератором поверхностной волны периодическую замедляющую структуру с диаметром $2r_T$ во много длин волн λ , что позволяет уменьшить возможность пробоев и сохранить длительность СВЧ импульса при росте мощности устройства.

Возможная схема усилителя представлена на рис. 1. На входе волна типа H_{01} трансформируется в моду E_{01} . В зависимости от глубины диафрагмирования l и периода системы d возможны два случая: а) при

Рис. 1. Общая схема взаимодействия электронного пучка с полями импедансного волновода: d — период системы, l — глубина диафрагм, r_T — расстояние от оси системы до диафрагм, H_0 — постоянное магнитное поле, r_H — радиус цилиндрического пучка



небольшой величине l основная пространственная гармоника является быстрой (фазовая скорость волны v_ϕ больше скорости света c) и возможно только взаимодействие с обратной волной, система склонна к самовозбуждению; б) диафрагмирование достаточно глубокое, вблизи высокочастотной границы полосы прозрачности $v_\phi < c$, в этом случае мы имеем устройство типа ЛОВ—ЛБВ [4]. Для получения усиления в случае б) необходимо значительно уменьшить период системы, чтобы отодвинуть границу полосы от точки синхронизма электронного пучка с основной пространственной гармоникой. При величине $d \ll \lambda$ можно приближенно рассматривать диафрагмированный волновод как гладкий, но с импедансной стенкой, а прибор назвать усилителем с импедансной стенкой.

Уравнение возбуждения волновода. Рассматривается случай стационарной работы усилителя, когда все величины можно считать за-

висящими от времени по закону $e^{-i\omega t}$. Ограничимся взаимодействием потока с аксиально-симметричными модами E -типа. В этом случае электромагнитные поля можно описать продольной компонентой полярizationного потенциала Герца Π_z^e , для которой можно легко получить уравнение [5]

$$\Delta_{\perp} \Pi_z + \frac{\partial^2 \Pi_z}{\partial z^2} + k^2 \Pi_z = -i \frac{4\pi}{\omega} j_{z\omega}, \quad (1)$$

где $k = \omega/c$, Δ_{\perp} — поперечный оператор Лапласа, $j_{z\omega}$ — продольная компонента плотности тока на частоте ω . При отсутствии оседания пучка на стенке структуры граничное условие $E_z = Z H_{\varphi}$ (Z — импеданс границы) преобразуется к виду

$$(iZ) k \frac{\partial \Pi_z}{\partial z} = -\Delta_{\perp} \Pi_z. \quad (2)$$

Так как для релятивистских потоков скорость электронов порядка скорости света, можно представить Π_z в форме

$$\Pi_z = u(r, z) e^{ikhz}, \quad (3)$$

где $u(r, z)$ изменяется медленно по сравнению с e^{ikhz} . Подставляя (3) в (1) и пренебрегая $\frac{\partial^2 u}{\partial z^2}$, получим для u параболическое уравнение с мнимым коэффициентом диффузии и граничные условия в следующем виде:

$$\Delta_{\perp} u + 2ik \frac{\partial u}{\partial z} = -i \frac{4\pi}{\omega} \frac{1}{2\pi} \int_0^{2\pi} j_z(r, t) e^{i(\omega t - kz)} d\omega t \equiv I, \quad (4)$$

$$iZk \frac{\partial u}{\partial r} = -\Delta_{\perp} u|_{r=r_T}. \quad (5)$$

Продольное поле E_z , действующее на электроны, определяется как

$$E_z = 2ik \frac{\partial u}{\partial z} e^{ikhz}.$$

Приближенное решение задачи будем искать методом Галеркина в виде

$$u^N(r, z) = \sum_{n=1}^{N+1} C_n(z) R_n(r). \quad (6)$$

где $C_n(z)$ — коэффициенты, подлежащие определению, а $R_n(r)$ — собственные функции поперечного сечения волновода с импедансной стенкой, в отличие от [6].

Введем обозначения

$$A_{mn} = \int_0^{2\pi} R_n R_m r dr, \quad I_m = \int_0^{r_T} I R_m r dr.$$

Умножая соотношение (4) последовательно на R_m при $m=1, 2, 3, \dots, N+1$, получим систему обыкновенных дифференциальных уравнений, которая и играет роль уравнения возбуждения в нашем случае:

$$\sum_{n=1}^{N+1} C_n'(z) A_{mn} = -\frac{i}{2k} \left\{ I_m + \sum_{n=1}^{N+1} (-1)^{\delta_{mn}} k_{\perp n}^2 A_{mn} C_n(z) \right\}, \quad (7)$$

где δ_{ln} — символ Кронекера, штрих означает дифференцирование по z . Следует отметить, что система (7) позволяет описывать и случай переменного импеданса, когда Z , а следовательно, и элементы вещественной и симметричной матрицы $\|A_{mn}\|$ зависят от координаты z .

Уравнения движения. Предположим, что имеется сильное продольное фокусирующее магнитное поле и поперечным движением частиц можно пренебречь. В качестве переменных, описывающих одномерное движение частиц, выберем нормированный на величину mc импульс p и фазу $\Phi = \tau - y$ электрона, где $\tau = \omega t$, $y = kz$. Независимой переменной является координата y . Тогда для каждой частицы пучка получим уравнения

$$\frac{dp}{dy} = -\frac{|e|\hbar}{mc\omega} \frac{\sqrt{1+p^2}}{p} E_z, \quad \frac{d\Phi}{dy} = \frac{\sqrt{1+p^2}}{p} - 1, \quad (8)$$

где

$$E_z = -\operatorname{Re} \left\{ 4\pi i e^{i\Phi} \sum_{n=1}^{N+1} L_n C_n'(z) \right\}, \quad L_n = \frac{1}{\pi(r_2^2 - r_1^2)} \int_{r_1}^{r_2} r R_n dr,$$

r_2 , r_1 — внешний и внутренний радиусы пучка, $r_1 = 0$ для сплошного пучка. Умножив C_n и I_n на $|e|\hbar/(mc^3)$, приведем все уравнения к безразмерному виду. Закон сохранения заряда для одномерного движения позволяет преобразовать значения коэффициентов I_m :

$$I_m = -2i T I_0 L_m I_1(z),$$

где $I_1(z)$ — безразмерная первая гармоника тока пучка,

$$I_1(z) = \frac{1}{2\pi} \int_0^{2\pi} e^{i\Phi(z)} d\Phi_0. \quad (9)$$

Начальные условия для частиц: равномерное распределение по начальной фазе Φ_0 от 0 до 2π и одинаковый импульс $p_0 = \sqrt{\gamma_0^2 - 1}$, где $\gamma_0 = 1 + eV_0/(mc^2)$, V_0 — напряжение, ускоряющее пучок; для поля: заданные значения амплитуд и фаз при $y = 0$.

Самосогласованная система уравнений (7), (8) полностью описывает поставленную задачу. Электронный коэффициент полезного действия рассчитывается по формуле

$$\eta = 100\% \cdot \left\{ 1 - \frac{1}{N(\gamma_0 - 1)} \sum_i (\gamma_i - 1) \right\}, \quad (10)$$

где $\gamma_i = \sqrt{p_i^2 + 1}$. Для сокращения времени расчетов применялся метод «опорных частиц» [7], основанный на использовании теоремы Котельникова, при предположении, что процессы в системе имеют ограниченный спектр от 0 до $W = q\omega$, где q — число гармоник в спектре. Это означает, что нелинейность в пучке ограничена номером гармоники q . В этом случае для полного описания достаточно использовать $M = 2q + 1$ опорных частиц, для которых решаются уравнения движения. Для вычисления необходимых интегральных характеристик, например I_1 , используются дополнительные «фиктивные» частицы, фаза которых $\Phi^*(y, \Phi_0)$ определяется соотношением

$$\Phi(y, \Phi_0) = \Phi_0 + \sum_{m=1}^M L_m(\Phi_0) p_m, \quad (11)$$

где $p_m = \Phi_m - \Phi_{0m}$, $L_m(\Phi_0^*) = \frac{1}{M} \frac{\sin(Mx)}{\sin x}$, $x = \frac{1}{2}(\Phi_0^* - \Phi_{0m})$,

Φ_m , Φ_{0m} — фаза и ее начальное значение для «опорных» частиц. Величина γ^* вычисляется по формуле $\gamma^* = (1+a)/\sqrt{(2+a)a}$, $a = d\Phi^*/dy$. Такой метод позволяет производить расчет с переменным числом «опорных» частиц, увеличивая их число по мере нарастания нелинейных процессов в пучке.

Результаты моделирования. Рассматриваемая система аналогична обычной ЛБВ, работающей на основной пространственной гармонике поля замедляющей системы [8]. Для оценки возможных параметров усилителя полезно сделать расчет в линейном приближении. Предполагая, что переменные во времени величины малы и их зависимость от координаты z дается законом $e^{i\beta z}$, после линеаризации получаем следующую систему уравнений [9]:

$$\Delta_{\perp} E_{1z} + (k^2 - \beta^2) \left(1 - \frac{\beta_p^2}{(\beta_e - \beta)^2} \right) E_{1z} = 0,$$

$$\frac{d}{dr} E_{1z} + E_{1z} \left(\frac{1}{r_T} + ikZ \right) = 0 \text{ при } r = r_T,$$

где $\beta_e = \omega/v_0$, $v_0 = c(1-1/\gamma_0^2)^{1/2}$, $\beta_p = \omega_p/v_0$, $\omega_p = (4\pi e r_0/m\gamma_0^3)^{1/2}$ — релятивистская плазменная частота. Из кинематической схемы взаимодействия следует, что пучок может находиться в синхронизме только с медленной волной E_{01} , зависящей от r по закону $I_0(\alpha r)$, поэтому для сплошного заполнения волновода получаем дисперсионное уравнение 4-го порядка

$$(k^2 - \beta^2) \{ (\beta - \beta_e)^2 - \beta_p^2 \} + \alpha^2 (\beta - \beta_e) = 0,$$

где $\alpha = x/r_T$, $x \neq 0$ — корень уравнения $xI_1(x) + I_0(x)(1+\epsilon) = 0$. Уравнение для пучка, занимающего часть поперечного сечения, получается аналогично. Усиление в лампе имеет место при $\text{Im}\beta < 0$.

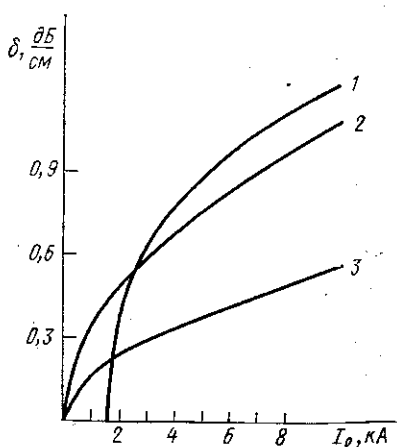


Рис. 2. Зависимость усиления от величины тока пучка I_0 : $\kappa = r_n/r_T = 0,7$, $I = V_0 = 0,7$ МВ, $l = 1/16 \lambda$; 2 — $V_0 = 0,5$ МВ, $l = 1/8 \lambda$; 3 — $V_0 = 0,7$ МВ, $l = 1/8 \lambda$

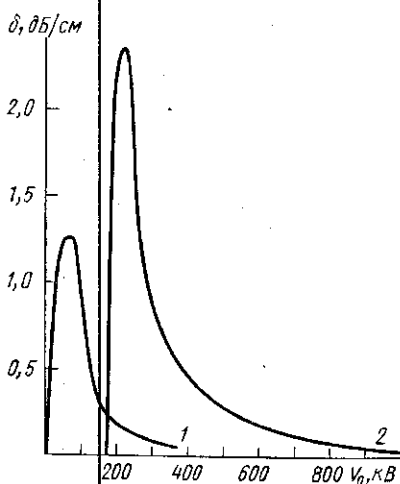


Рис. 3. Удельное усиление как функция энергии пучка: $I_0 = 1$ кА, $r_T = 5 \lambda$, $l = 3/8 \lambda$ (1) и $1/8 \lambda$ (2)

Основной характеристикой устройства является усиление на единицу длины, обозначаемое δ (дБ/см). Определялись зависимости величины δ от различных параметров: тока пучка I_0 , напряжения V_0 , глубины диафрагмирования l , а также полосовые свойства усилителя. Результаты представлены на рис. 2—5. Было выбрано значение диа-

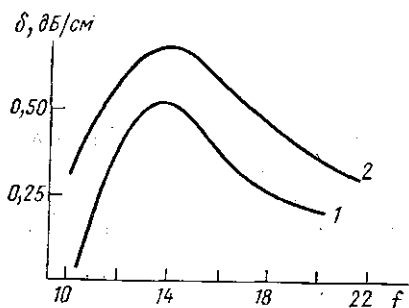


Рис. 4. Частотные характеристики усилителя с импедансной стенкой: $V_0=0,7$ МВ, $r_T=20$ л, $l=2$ мм, $I_0=$ =1 (1) и 3 (2) кА

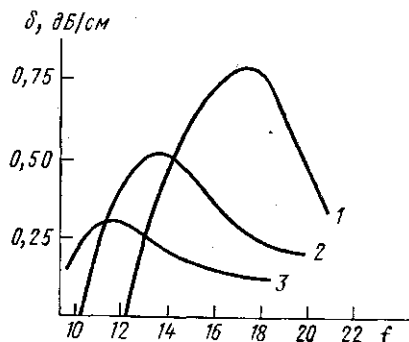


Рис. 5. Влияние энергии электронного пучка на усиление: $I_0=1$ кА, $r_T=$ =20 л, $l=2$ мм, $V_0=500$, (1), 700 (2) и 1000 (3) кВ

метра системы $2r_T=D=10\lambda=8$ см, напряжение изменялось в пределах от 0,1 до 1 МВ и ток пучка I_0 от 1 до 10 кА. Полагалось, что усилитель является однородным по z и $D \gg l$, так что для импеданса Z справедливо упрощенное выражение $Z=i\kappa_0 \operatorname{tg} kl$, где $\kappa_0=(l-l_1)/l$, l_1 — толщина диафрагмы. Медленные волны существуют при индуктивном $Z(n\pi \leq kl \leq \pi/2 + n\pi)$, поэтому значение l выбиралось, как правило, несколько меньшим, чем $\lambda/4$. Область усиления ограничивается со стороны низких частот точкой, когда $v_\phi=c$, а с другой стороны — рассинхронизмом волн потока и замедляющей структуры на длине лампы.

С ростом тока пучка удельное усиление увеличивается для всех напряжений и глубин диафрагмирования (см. рис. 2), но максимальное значение усиления (при высоких η) в приборе начиная с некоторого I_0 падает из-за быстрого развития нелинейных процессов. Максимум усиления соответствует точке точного синхронизма волн электродинамической структуры и пучка.

На рис. 3 представлены зависимости усиления от ускоряющего напряжения V_0 для двух значений l ; характерной особенностью является резкая зависимость усиления от энергии частиц, а следовательно, и от разброса скоростей в пучке. Это свойство может оказаться полезным при использовании подобной системы в качестве выходной секции тристроны, где большое значение усиления является нежелательным из-за возможности самовозбуждения.

Частотные характеристики усилителя даны на рис. 4 и 5. С ростом тока полоса усиления увеличивается и при типичных параметрах $V_0=700$ кВ и токе $I_0=3$ кА $\Delta f/f \approx 60\%$ при усилении монохроматического сигнала. С ростом энергии частиц при прочих фиксированных параметрах усиление уменьшается, а ширина полосы несколько увеличивается. От номера полосы, т. е. значения n , зависит только частотная характеристика усилителя: с ростом n ширина полосы уменьшается обратно пропорционально n . Коэффициент полезного действия вблизи максимума удельного усиления превышает 30% при напряжениях порядка 1 МВ. Это значение может быть увеличено оптимизацией

параметров, и в частности применением переменной глубины гофрировки с целью подстройки фазовой скорости волны в замедляющей структуре в соответствии с замедлением пучка.

Перспективно использование такой системы в качестве выходной в релятивистских широкополосных приборах О-типа.

При большом усилении (более 35—40 дБ) возможно появление генерации в приборе, что нуждается в дополнительном исследовании с учетом встречных волн и выходит за рамки настоящего исследования.

СПИСОК ЛИТЕРАТУРЫ

- [1] Ковалев Н. Ф., Петелин М. И., Райзер М. Д., Сморгонский А. В. В кн.: Релятивистская высокочастотная электроника. Горький: Изд-во ИПФ АН СССР, 1979, с. 76. [2] Александров А. Ф. и др. В кн.: Релятивистская высокочастотная электроника. Проблемы повышения мощности и частоты излучения. Горький: Изд-во ИПФ АН СССР, 1981, с. 145. [3] Александров А. Ф., Галузо С. Ю., Канавец В. И., Плетюшкин В. А. ЖТФ, 1981, 51, с. 1727. [4] Афонин А. М., Канавец В. И. Радиотехн. и электроника, 1984, 29, с. 641. [5] Виноградова М. Б., Руденко О. В., Сухоруков А. П. Теория волн. М.: Наука, 1979. [6] Аркадакский С. С., Цикин Б. Г. Радиотехн. и электроника, 1975, 20, с. 2328. [7] Пикунев В. М., Прокопьев В. Е., Сандалов А. Н. В кн.: Тез. докл. X Всесоюз. конф. по электронике СВЧ. Минск, 1983, т. 1, с. 126. [8] Скотт Э. Волны в активных и нелинейных средах в приложении к электронике. М.: Сов. радио, 1977. [9] Люиселл У. Связанные и параметрические колебания в электронике. М.: ИЛ, 1963.

Поступила в редакцию
16.05.84

ВЕСТН. МОСК. УН-ТА. СЕР. 3. ФИЗИКА. АСТРОНОМИЯ, 1985, Т. 26, № 2

УДК 550.388

МАТЕМАТИЧЕСКОЕ МОДЕЛИРОВАНИЕ ВОЗБУЖДЕНИЯ ЭЛЕКТРОМАГНИТНЫХ ВОЛН В НЕОДНОРОДНОЙ МАГНИТОСФЕРНОЙ ПЛАЗМЕ

В. П. Моденов, А. Д. Поезд, Е. Д. Поезд

(кафедра математики)

Решение ряда практически важных задач приводит к необходимости изучения распределения электромагнитного поля в неоднородной анизотропной равновесной среде [1]. Вместе с тем во многих случаях существенны различные неустойчивости, в частности плазменные, которые приводят к неравновесности и значительно изменяют как физику, так и математическое описание процесса распространения электромагнитных волн. В настоящей работе рассматривается постановка и решение задачи о распределении поля в плоскостой неравновесной анизотропной среде. Полученный алгоритм используется для моделирования генерации электромагнитных волн в магнитосфере Земли.

Рассмотрим слой среды с тензором диэлектрической проницаемости $\epsilon(z)$, заключенный между двумя плоскостями, перпендикулярными оси Oz . Толщина слоя d . Полупространства $z < 0$ и $z > d$ заполнены однородной анизотропной средой. Из полупространства $z < 0$ на слой под углом θ падает плоская монохроматическая волна $\mathbf{E} = \mathbf{A}e^{-i\omega t + ikr}$.

Электромагнитное поле внутри неоднородного слоя находится как решение уравнений Максвелла, удовлетворяющее условиям сопряжения, т. е. непрерывности касательных компонент электрического и